

# F 789 – Mecânica Quântica II

1º Semestre de 2023

05/06/2023

Aula 23

# Aulas passadas

Solução aproximada de um problema **dependente do tempo** com a seguinte forma:

$$H(t) = H_0 + W(t) = H_0 + \lambda \hat{W}(t), \quad \lambda \ll 1$$

Problema de auto-valor de  $H_0$  é suposto resolvido:

$$H_0 |\varphi_n\rangle = E_n |\varphi_n\rangle$$

Sistema é preparado num auto-estado de  $H_0$  e deixado evoluir no tempo:

$$|\psi(t=0)\rangle = |\varphi_i\rangle \rightarrow |\psi(t)\rangle$$

Pede-se a probabilidade de encontrá-lo num outro auto-estado de  $H_0$  no instante  $t$ .

$$\mathcal{P}_{if}(t) = |\langle \varphi_f | \psi(t) \rangle|^2$$

# Aulas passadas

Expande-se o estado na base de  $H_0$

$$|\psi(t)\rangle = \sum_k c_k(t) |\varphi_k\rangle = \sum_k b_k(t) e^{-iE_k t/\hbar} |\varphi_k\rangle$$

Encontram-se as equações satisfeitas pelo coeficientes  $b_k(t)$

$$i\hbar \dot{b}_n(t) = \lambda \sum_k e^{i\omega_{nk}t} \hat{W}_{nk}(t) b_k(t)$$

$$\begin{aligned}\hat{W}_{nk}(t) &= \langle \varphi_n | \hat{W}(t) | \varphi_k \rangle \\ \omega_{nk} &= \frac{E_n - E_k}{\hbar}\end{aligned}$$

Supõe-se uma forma dos coeficientes como série de potências em  $\lambda$ :

$$b_n(t) = b_n^{(0)}(t) + \lambda b_n^{(1)}(t) + \lambda^2 b_n^{(2)}(t) + \dots$$

# Aulas passadas

Em primeira ordem em  $\lambda$ :

$$b_n^{(1)}(t) = \frac{1}{i\hbar} \int_0^t e^{i\omega_{ni}t'} \hat{W}_{ni}(t') dt'$$

A probabilidade de transição  $i \rightarrow f$

$$\mathcal{P}_{if}(t) = \frac{1}{\hbar^2} \left| \int_0^t e^{i\omega_{fi}t'} W_{fi}(t') dt' \right|^2$$

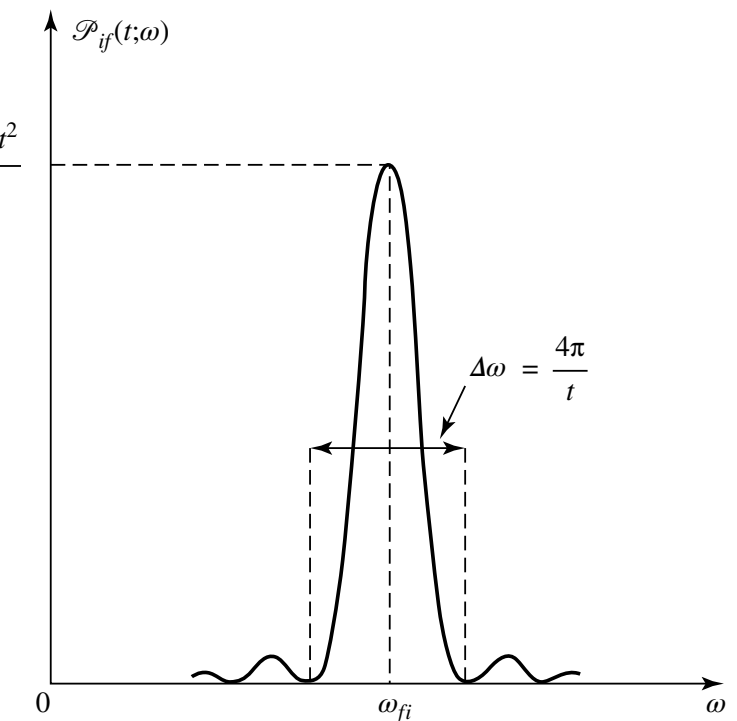
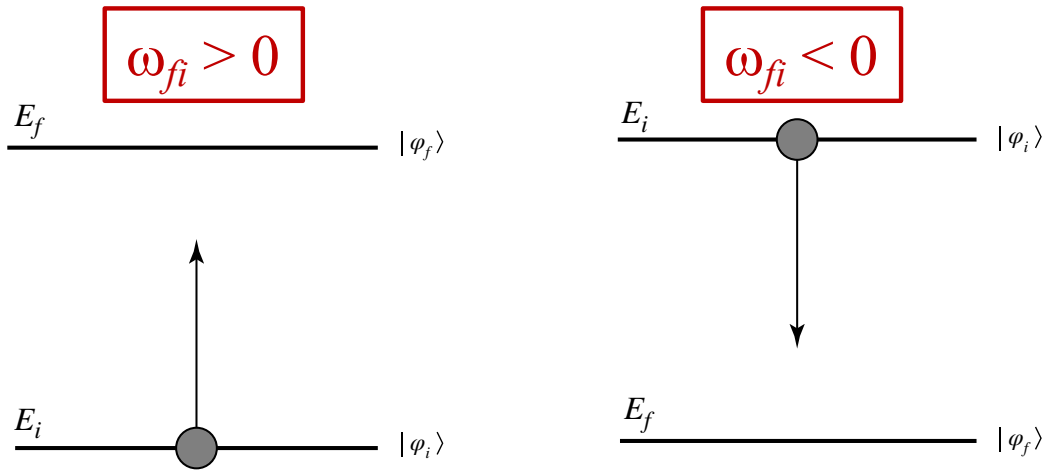
# Aula passada

Perturbação senoidal:  $\hat{W}_s(t) = \hat{W} \sin \omega t, \hat{W}_c(t) = \hat{W} \cos \omega t, (\omega > 0)$

Se  $\omega \approx |\omega_{fi}| \gg \frac{2\pi}{t}$  (ressonância):

$$\mathcal{P}_{if}(t, \omega) = \frac{|W_{fi}|^2}{4\hbar^2} \left\{ \frac{\sin [(\omega_{fi} - \omega)t/2]}{(\omega_{fi} - \omega)/2} \right\}^2 \text{ se } \omega_{fi} > 0,$$

$$\mathcal{P}_{if}(t, \omega) = \frac{|W_{fi}|^2}{4\hbar^2} \left\{ \frac{\sin [(\omega_{fi} + \omega)t/2]}{(\omega_{fi} + \omega)/2} \right\}^2 \text{ se } \omega_{fi} < 0.$$

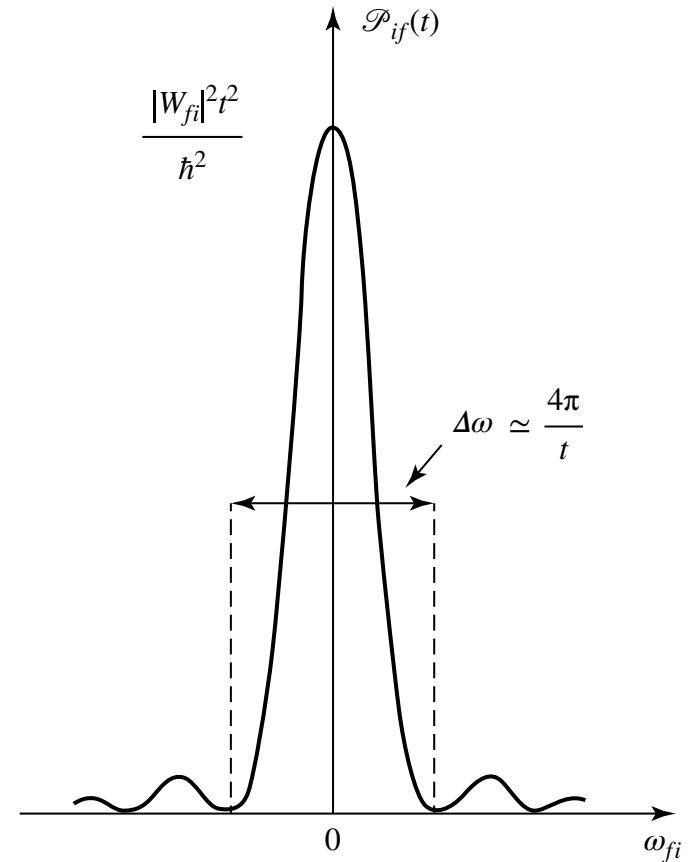


# Aula passada

Perturbação constante:  $\hat{W}_0(t) = \hat{W}$

$$\mathcal{P}_{if}(t) = \frac{|W_{fi}|^2}{\hbar^2} \left[ \frac{\sin(\omega_{fi}t/2)}{\omega_{fi}/2} \right]^2$$

Transição entre estados de mesma energia.



# Aula passada

Condição de **validade da teoria de perturbação de 1a. ordem**: tempos curtos

$$t \ll \frac{2\hbar}{|W_{fi}|}$$

Condição de validade para **expressão ressonante**: tempos longos

$$t \gg \frac{2\pi}{|\omega_{fi}|} = \frac{2\pi\hbar}{|E_f - E_i|}$$

Só são compatíveis se:

$$|W_{fi}| \ll |E_f - E_i|$$

# Acoplamento com estados do contínuo

ASSUMIMOS ATÉ' AGORA QUE  $|P_i\rangle$  E  $|\Psi_f\rangle$  SÃO AMBOS ESTADOS LIGADOS. MAS, VÁRIAS SITUAÇÕES FÍSICAS ENVOLVEM ESTADOS FINAIS NA REGIÃO DE ESTADOS DO CONTÍNUO, COMO:

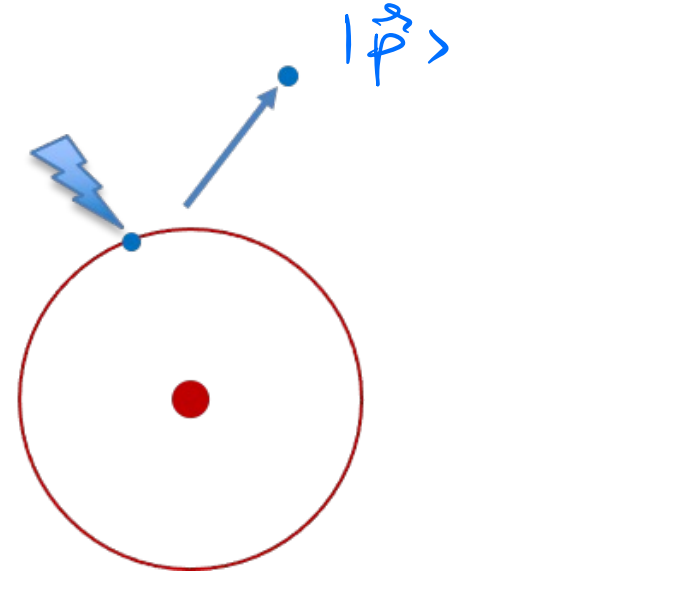
$$\langle \vec{r} | \vec{p} \rangle = \frac{e^{i\vec{p} \cdot \vec{r}}}{(2\pi\hbar)^{3/2}}$$

OU  
 $|\Psi_p^{(+)}\rangle$  (ESTADOS DE ESPALHAMENTO)

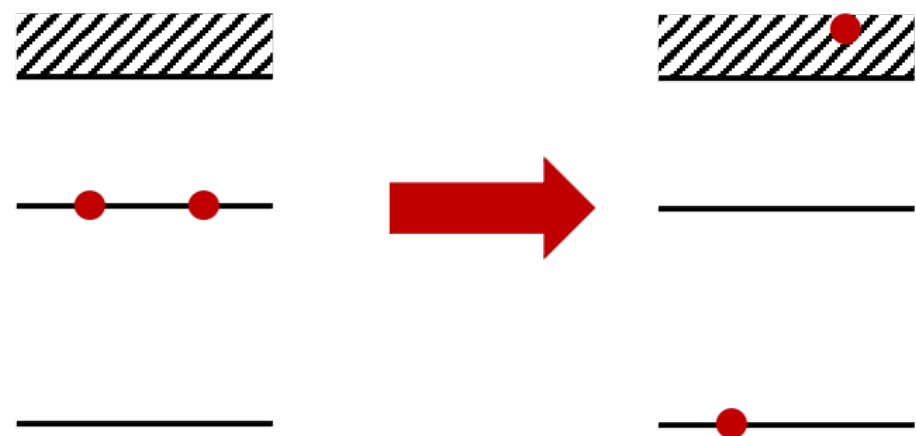
# Exemplos

Acoplamento com **estados do contínuo**:

- a) Fotoionização (efeito fotoelétrico):  
radiação eletromagnética incidente  
“arranca” um elétron e ioniza o átomo.



- b) Auto-ionização (efeito Auger): um estado ligado decai num estado com um elétron em nível mais baixo e outro elétron ejetado pra fora do átomo;  
átomo de Hélio  $2s^2 \rightarrow 1s, 1p$ . A perturbação é o próprio H.



SUPONHAMOS QUE NO ESTADO FINAL O ELETRÓN  
SEJA EJETADO NUM ESTADO DE ONDA PLANA:

$$\langle \vec{r} | \vec{P} \rangle = \frac{e^{i\vec{P} \cdot \vec{r}}}{(2\pi\hbar)^{3/2}}$$

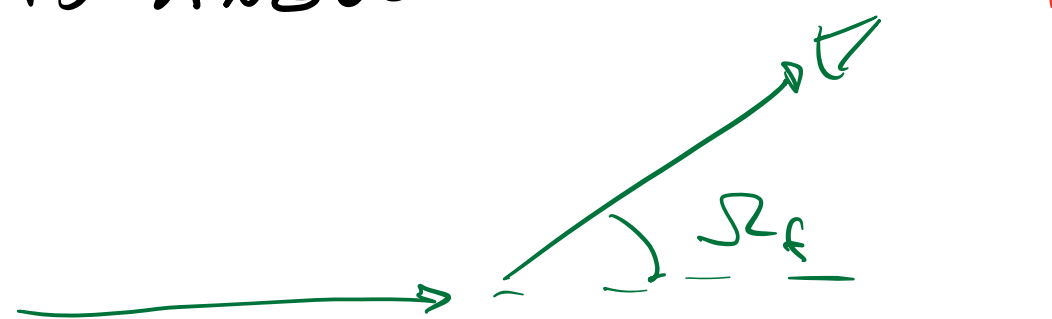
SE A ENERGIA CINÉTICA  $\frac{\vec{P}^2}{2m}$  DO ELETRÓN  
EJETADO É GRANDE O SUFICIENTE, É UMA  
BOA APROXIMAÇÃO USAR COMO ESTADO FINAL  
UMA ONDA PLANA E NÃO O ESTADO DE ESPA-  
LHAMENTO  $\psi_{\vec{P}}^{(+)}(\vec{r})$  QUE LEVA EM CONTA O POTEN-  
CIAL COULOMBIANO DO ÁTOMO IONIZADO.

NESSE CASO, DEVEMOS OBTER UMA DENSIDADE  
DE PROBABILIDADE DE TRANSIÇÕES:

$$dP(\vec{p}, t) = |\langle \vec{p} | \psi(t) \rangle|^2 d^3 p$$

MEDIDAS TÍPICAS DETECTAM O FOTOELETRÓN  
COM UMA CERTA ENERGIA NO INTERVALO

$[E_f, E_f + \delta E_f]$  (CÚJO MOMENTO LINEAR ESTÁ NUM  
CERTO ÂNGULO SÓLIDO  $\delta\Omega_f$ )



$$dP = \rho^2 d\Omega d\rho$$

$$d\Omega = \sin\theta d\theta d\phi$$

SE  $E_f = \frac{P_f^2}{2m} \Rightarrow dE_f = \frac{P_f}{m} dP_f$

$$P_f^2 dP_f = \frac{m}{R} P_f dE_f = m P_f dE_f = m \sqrt{2m E_f} dE_f$$

$$\Rightarrow dP_f = P_f^2 dP_f d\Omega_f = m \sqrt{2m E_f} dE_f d\Omega_f \equiv S(E_f) dE_f d\Omega_f$$

$$g(E) = P^2 \frac{dP}{dE} = m \sqrt{2mE} : \text{DENSIDADE DE ESTADOS}$$

POR INTERVALO DE ENERGIA

ASSIM:

$$dP(\vec{P}_f, t) = |\langle \vec{P}_f | \psi(t) \rangle|^2 g(E_f) dE_f d\Omega_f$$

A PROBABILIDADE DO ELETTRON SER DETECTADO

EM  $[E_f, E_f + \delta E_f]$  COM MOMENTO LINEAR NA  
DIREÇÃO  $\hat{\Omega}_f$

$$SP(\vec{P}, t) = \int |\langle \vec{P}_f | \psi(t) \rangle|^2 g(E_f) dE_f d\Omega_f$$

$\vec{P} \in [\Omega_f, \Omega_f + \delta \Omega_f]$   
 $E_f \in [E_f, E_f + \delta E_f]$

# Perturbação constante

$$\mathcal{P}_{if}(t) = \frac{|W_{fi}|^2}{\hbar^2} \left[ \frac{\sin(\omega_{fi}t/2)}{\omega_{fi}/2} \right]^2$$

$$|\Psi_f\rangle \longrightarrow |\vec{P}_f\rangle$$
$$P_{if}(t) \longrightarrow dP(\vec{P}; t)$$

$$W_{fi} = \langle \vec{P}_f | W | \Psi_i \rangle = \langle \Sigma_f, E_f | W | \Psi_i \rangle$$

$$\omega_{fi} = \frac{E_f - E_i}{\hbar}$$

$$dP(t) = \frac{|\langle \Sigma_f, E_f | W | \Psi_i \rangle|^2}{\hbar^2} F(t, \frac{E_f - E_i}{\hbar}) S(E_f) dE_f d\Sigma_f$$

ONDE  $F(t, \omega) = \left[ \frac{\sin(\omega t/2)}{\omega/2} \right]^2$

$$SP(t) = \int_{\lambda \in S_{R_f}} \frac{|\langle \lambda_{R_f}, E_f | W | \varphi_i \rangle|^2}{t^2} F(t, \frac{E_f - E_i}{t}) S(E_f) dE_f d\lambda_{R_f}$$

$\lambda \in S_{R_f}$   
 $E_f \in S_{E_f}$

COMO  $F(t, \omega) \xrightarrow{(2\pi t)} \delta(\omega)$  QUANDO  $t \rightarrow \infty$ , ELA  
 "FILTRA" O INTEGRANDO EM  $E_f = E_i$

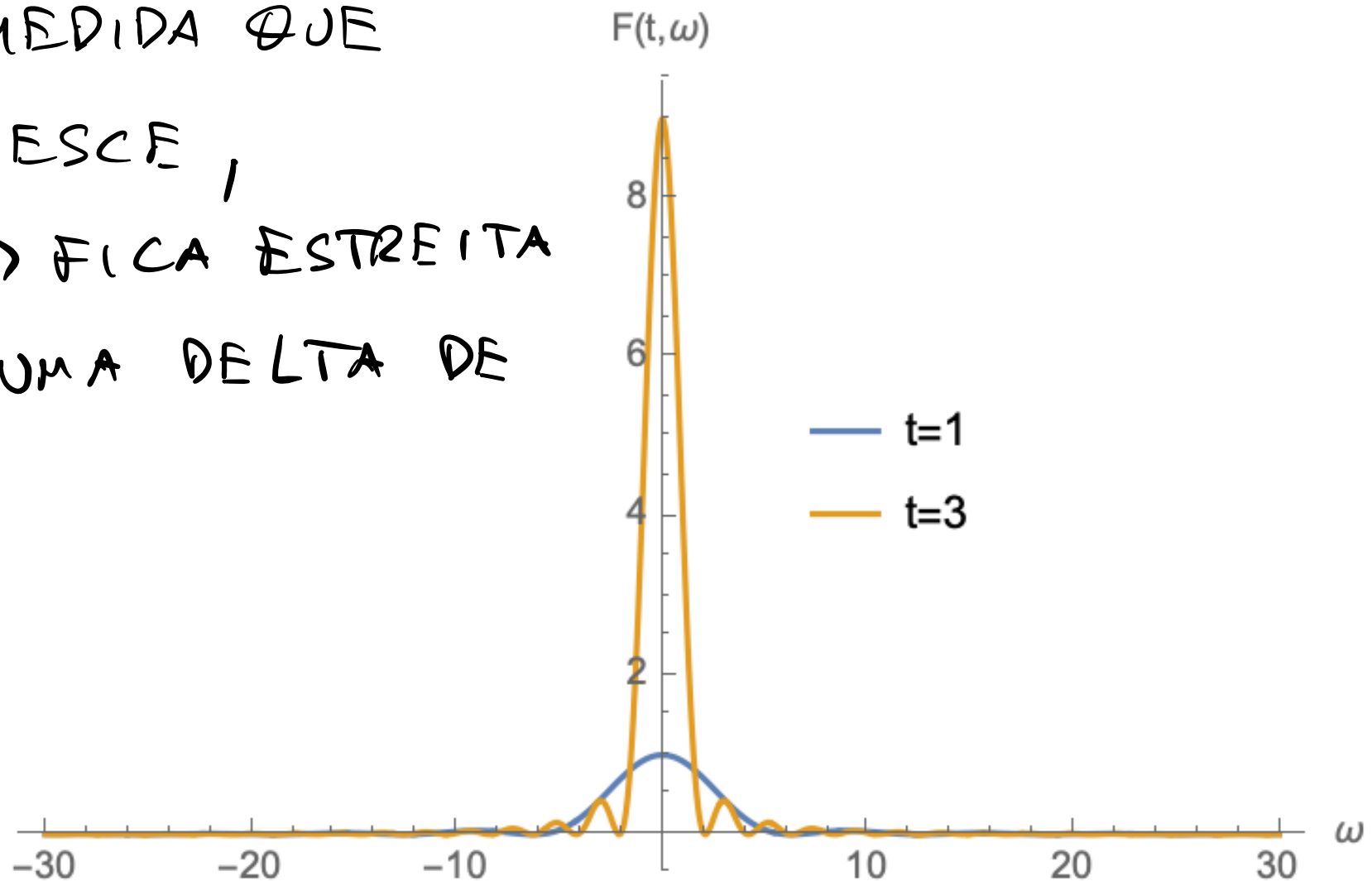
$$F(t, \omega) = 4 \frac{\sin^2(\omega t/2)}{\omega^2} = 2\pi t \left[ \frac{\sin^2(\omega t/2)}{\pi t \omega^2/2} \right] \xrightarrow[t \rightarrow \infty]{} 2\pi t \delta(\omega)$$

(EX. 12 DO APÊNDICE II DO COHEN)

$$\begin{aligned} SP(t) &= \int \frac{1}{t^2} 2\pi t S\left(\frac{E_f - E_i}{t}\right) S(E_f) dE_f d\lambda_{R_f} \\ &= \int_{\lambda \in S_{R_f}} \frac{|\langle \lambda_{R_f}, E_f | W | \varphi_i \rangle|^2}{t^2} 2\pi t S(E_f = E_i) d\lambda_{R_f} \end{aligned}$$

$$\delta(\frac{x}{\alpha}) = |\alpha| \delta(x)$$

'A MEDIDA QUE  
t CRESCE,  
 $F(t, \omega)$  FICA ESTREITA  
COMO UMA DELTA DE  
DIRAC



SE O INTERVALO  $\delta\Omega_f$  É MUITO PEQUENO:

$$SP(t) = \frac{2\pi}{\hbar} t |\langle \Omega_f, E_f = E_i | W | \Omega_i \rangle|^2 S(E_f = E_i) \delta\Omega_f$$

DEFINIMOS UMA TAXA DE TRANSIÇÃO POR UNIDADE DE TEMPO:

$$W(\Omega_i, \Omega_f) = \frac{d SP(t)}{dt} = \frac{2\pi}{\hbar} |\langle \Omega_f, E_f = E_i | W | \Omega_i \rangle|^2 S(E_f = E_i) \delta\Omega_f$$

FINALMENTE, PODE-SE DEFINIR UMA TAXA DE TRANSIÇÃO POR UNIDADE DE TEMPO POR UNIDADE DE ÂNGULO SOLIDO:

$$w(\Omega_i, \Omega_f) = \frac{W(\Omega_i, \Omega_f)}{\delta\Omega_f} = \frac{2\pi}{\hbar} |\langle \Omega_f, E_f = E_i | W | \Omega_i \rangle|^2 S(E_f = E_i)$$

"REGRA DE OURO DE FERMI"

PARA O CASO DE UMA PERTURBAÇÃO SENOIDAL:

$$w(\varphi_i, \omega_f) = \frac{\pi}{2\hbar} |\langle \varphi_f, E_f = E_i + \hbar\omega | W | \varphi_i \rangle|^2 \delta(E_f - E_i + \hbar\omega)$$

# Interação de um átomo com ondas eletromagnéticas (complemento A<sub>XIII</sub>)

O HAMILTONIANO DE UM ELETRÔN NA PRESENÇA DE CAMPOS ELETROMAGNÉTICOS:

$$H = \frac{1}{2m} [\vec{P} - q\vec{A}(\vec{R}, t)]^2 + V(R) - \frac{q}{m} \vec{S} \cdot \vec{B}(\vec{R}, t) + q\Phi(\vec{R}, t)$$

ESCOLHA  
DE CALIBRE

$\vec{A}(\vec{r}, t)$  É O POTENCIAL VETOR QUE DÁ ORIGEM AOS CAMPOS  $\vec{E}(r, t)$  E  $\vec{B}(r, t)$ .

$\Phi(\vec{r}, t)$  É O POTENCIAL ESCALAR

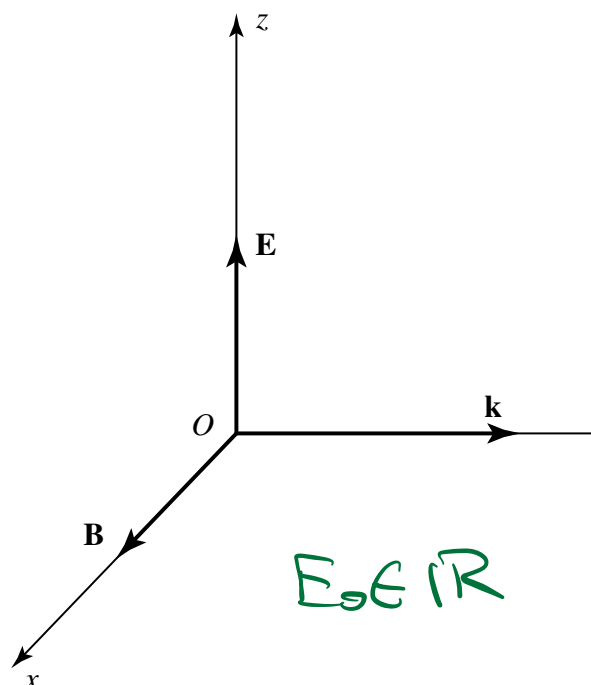
$$\frac{q}{m} \vec{S} = q \frac{\mu_B}{\hbar} \vec{S} = \vec{M} \Rightarrow \text{MOMENTO MAGNÉTICO DO ELETRÔN DEVIDO AO SPIN } (g=2) (\mu_B = \frac{q\hbar}{2m})$$
$$-\frac{q}{m} \vec{S} \cdot \vec{B} = -\vec{M} \cdot \vec{B}$$

$$\vec{E}(\vec{r}, t) = -\vec{\nabla}\Phi - \frac{\partial \vec{A}}{\partial t}$$

$$\vec{B}(\vec{r}, t) = \vec{\nabla} \times \vec{A}$$

PODEMOS ESCOJER TRABALCAR NO CALIBRE ("GAUGE") EN QUE  $\Phi(\vec{r}, t) = 0$

# Onda eletromagnética



ONDA ELETROMAGNETICA

PLANA DE FREQUÊNCIA  $\underline{\omega}$  E

VETOR DE ONDA  $\vec{k} = k\hat{y}$  COM  
 $\vec{E} \parallel \hat{z}, \vec{B} \parallel \hat{x}$

$$\boxed{\omega = ck}$$

PARA ISSO, POSSO ESCOLHER:

$$\boxed{\vec{A}(\vec{r}, t) = \frac{E_0}{\omega} \sin(ky - \omega t) \hat{z}; \quad \Phi(\vec{r}, t) = 0}$$

$$\vec{E}(\vec{r}, t) = - \frac{\partial \vec{A}}{\partial t} = E_0 \cos(ky - \omega t) \hat{z}$$

$$\vec{B}(\vec{r}, t) = \vec{\nabla} \times \vec{A} = - \frac{\partial A_z}{\partial x} \hat{y} + \frac{\partial A_x}{\partial y} \hat{x} = \frac{k E_0}{\omega} \cos(ky - \omega t) \hat{x}$$

$$= \frac{E_0}{c} \cos(ky - \omega t) \hat{x} \equiv B_0 \cos(ky - \omega t) \hat{x}; \quad B_0 = \frac{E_0}{c}$$

VETOR DE POYNTING:  $\vec{S} = \epsilon_0 c^2 \vec{E} \times \vec{B} = \frac{1}{\mu_0} \vec{E} \times \vec{B}$

$$\Rightarrow \vec{S} = \epsilon_0 c \left( \frac{E_0^2}{c} \right) \cos^2(ky - \omega t) \hat{y}$$

MÉDIA TEMPORAL DE  $\vec{S}$ :

$$\langle \vec{S} \rangle = \frac{\epsilon_0 c E_0^2}{2} \hat{y} \quad \text{ONDE USAMOS } \langle \cos^2(ky - \omega t) \rangle = \frac{1}{2}$$

O VETOR DE POYNTING APONTA NA DIREÇÃO DE PROPAGAÇÃO DA ONDA E SEU MÓDULO DÁ A QUANTIDADE DE ENERGIA POR UNIDADE DE TEMPO (OU SEJA, POTÊNCIA) POR UNIDADE DE ÁREA TRANSVERSAL À DIREÇÃO DE PROPAGAÇÃO TRANSMITIDA PELA ONDA.